

Перигейная масса Луны — недостающий элемент теории нутации и прецессии Земли

Кириян Д. Г., Кириян Г. В.

Институт Проблем Машиностроения РАН

В. О., Большой проспект 61, Санкт-Петербург, Россия, 199178

эл. адрес: diki.ipme@gmail.com

Выявлен отсутствующий в теории нутации и прецессии Земли нутационный момент, действующий на Землю со стороны перигейной массы Луны. Этот неучтённый момент проявился в так называемой «вариации широты места» с периодом Чандлера. Результаты работы ставят вопрос об уточнении теории нутации и прецессии Земли, пересмотру некоторых постулатов службы времени, астрономии, геофизики, спутниковой навигации и так далее.

ключевые слова: астрометрия, движение Чандлера, широта, гравитация, Луна, радиоастрометрия, GPS, UT1

1. Наблюдения зенитного расстояния звёзд

В астрометрии под зенитным расстоянием понимают угол между отвесной линией (нормалью места) и направлением на звезду. Принято считать, что непостоянство зенитных расстояний звёзд впервые было отмечено Дж. Брадлеем (1726–1727) и Молине (1727–1747) [1, 2]. Целенаправленную регистрацию вариаций зенитного расстояния (изменяемости широт) с хорошим оптическим инструментом, в 1840 г. выполнил Х.И. Петерс в Пулковской обсерватории Санкт-Петербургской Академии Наук. Там же с 1863 по 1875 год аналогичные наблюдения провёл М.О. Нюрен и он первым дал оценку величины периода изменения широты места — 1,2 года. Вопрос придания этим исследованиям международного характера обсуждался на Конгрессе Международной Геодезической ассоциации в Риме в 1883 году. К практической реализации наблюдений приступили после Конгресса Геодезического общества в Зальцбурге (1888 г.). В 1892 году, С. Чандлер, обобщив и изучив, накопленные к тому времени, данные наблюдений, показывает, что в изменениях широт присутствует период, лежащий в диапазоне от 400 до 440 суток [3]. При этом уже считался очевидным тот факт, что наблюдаемое явление обусловлено движением оси вращения Земли в теле Земли. Достаточно быстро, учёному сообществу было предложено интерпретировать непостоянство широты места или вариацию зенитного расстояния звёзд с периодом Чандлера, как следствие «свободного нутационного движения» оси вращения Земли в теле Земли [4]. Это была первая гипотеза, которую предложили исследователи для объяснения физической природы регулярного изменения зенитного расстояния звёзд.

Далее, опираясь на открытие Чандлера и гипотезу о природе «изменяемости широт», не получившую, на наш взгляд, необходимого и достаточного экспериментального подтверждения, на рубеже XIX–XX веков научное сообщество формулирует следующую гипотезу: ось вращения Земли в теле Земли совершает «остаточное движение» с характерным чандлеровским периодом.

В течение XX-го столетия предлагались и другие гипотезы, у них было общее — они основывались на очевидном, но не доказанном. Считалось очевидным, что наблюдаемое изменение зенитного расстояния звёзд является следствием движения оси вращения Земли относительно тела Земли. В конце XX века ведущие учёные Европы и США, специалисты по теории движения полюсов (оси вращения) Земли, теории вращения Земли, в статье посвящённой 100-летию открытия Чандлера [5] вынуждены констатировать полное отсутствие результатов в изучении этого явления.

Это обстоятельство послужило для нас основанием подойти к решению сложившейся проблемы, отступив от парадигмы, существующей с тех давних времён. Отдельные результаты наших исследований этой проблемы представлены в работах [6, 7]. При исследовании уделялось особое внимание на то, как ставилась задача, какие необходимые и достаточные условия предъявлялись к процессу наблюдений, какие требования предъявлялись к используемым угломерным астрометрическим инструментам, к вопросам сохранения физической сущности при анализе получаемых временных рядов.

2. Постановка задачи

Тот факт, что период Чандлера обнаруживается в анализе многолетних наблюдений колебания уровня океана [8], атмосферного давления [9] и гравитационного ускорения Земли¹, позволил нам сделать предположение, что природу периода Чандлера определяет некий гравитационный фактор. Поэтому на примере отвесной линии рассмотрим вариацию гравитационного поля в некоторой точке на поверхности Земли, как функцию положения Луны относительно Земли. Отвесная линия — это касательная к силовой линии гравитационного поля в точке наблюдения.

Рассмотрим непостоянство гравитационного поля в точке **A** на поверхности Земли, как следствие перемещения Луны вокруг Земли. При этом полагаем, что Земля и Луна это не деформируемые сферы. Введём в рассмотрение ортогональную систему координат **Axyz** с началом в точке **A** (рис. 1). Система ориентирована таким образом, что плоскость **Axy** является касательной к поверхности Земли в точке **A**. Ось **Az** направлена в сторону от Земли.

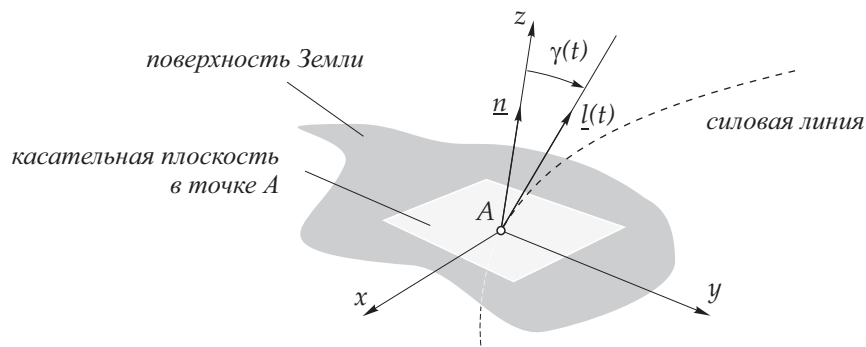


Рис. 1: Угол выхода силовой линии гравитационного поля в точке **A** на поверхности Земли

Сила, действующая на пробную массу в точке **A**, может быть определена как

¹ОНРДМС (Ocean Hemisphere Project Data Management Center) — <http://ohp-ju.eri.u-tokyo.ac.jp>

градиент потенциала $U(t)$ гравитационного поля системы Земля–Луна:

$$\mathbf{f}(t) = -\nabla U(t) . \quad (1)$$

Сила $\mathbf{f}(t)$, по определению, является касательной к силовой линии гравитационного поля. Изменение направления силы $\mathbf{f}(t)$, в системе координат \mathbf{Axuz} , будем отслеживать через вектор $\mathbf{l}(t)$, вычисляя угол $\gamma(t)$ между неподвижным единичным вектором \mathbf{n} (орт оси \mathbf{Az}) и вектором $\mathbf{l}(t)$ по теореме косинусов:

$$\gamma(t) = \arccos(\mathbf{n} \cdot \mathbf{l}(t)) , \quad \text{где} \quad \mathbf{l}(t) = -\frac{\mathbf{f}(t)}{|\mathbf{f}(t)|} , \quad |\mathbf{l}(t)| = 1 . \quad (2)$$

Иные физические явления, вызывающие изменение гравитационного поля в точке наблюдения, мы не учитываем, так как в нашей постановке задачи они, как будет показано далее, не имеют принципиального значения. То есть, для выявления сути процесса, мы предельно упрощаем задачу и не отвлекаемся на второстепенные факторы, которые могут играть существенную роль при иных обстоятельствах.

3. Координаты наблюдателя на поверхности Земли

Введём в рассмотрение две неподвижные ортогональные системы координат $\mathbf{Ox}^e\mathbf{y}^e\mathbf{z}^e$ и $\mathbf{Ox}'\mathbf{y}'\mathbf{z}'$ с общим началом в точке \mathbf{O} (рис. 2). Плоскость $\mathbf{Ox}^e\mathbf{y}^e$ принадлежит эллиптике, а плоскость $\mathbf{Ox}'\mathbf{y}'$ совпадает с плоскостью экватора Земли. Будем считать, что Земля представляет собой эллипсоид вращения. \mathbf{Oz}' является осью собственного вращения Земли и максимального момента инерции. \mathbf{Oz}' образует угол ε с осью \mathbf{Oz}^e . Оси \mathbf{Ox}' и \mathbf{Ox}^e совпадают по направлению и параллельны линии весеннего равноденствия Υ .

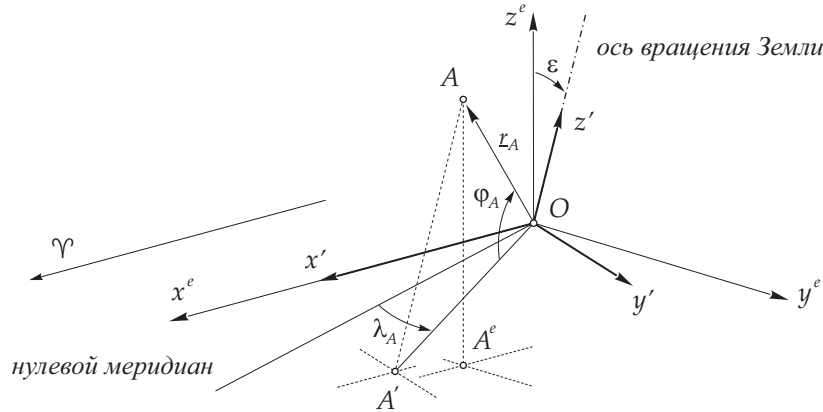


Рис. 2: Координаты наблюдателя (точка \mathbf{A}) на поверхности Земли

Координаты точки \mathbf{A} на поверхности Земли задаются широтой и долготой. Широта φ_A — это угол между плоскостью $\mathbf{Ox}'\mathbf{y}'$ (экватор) и направлением на точку \mathbf{A} . Долгота λ_A определяется, как угол в плоскости $\mathbf{Ox}'\mathbf{y}'$ между нулевым меридианом и меридианом точки \mathbf{A} . Нулевой меридиан и точка \mathbf{A} вращаются, как одно целое, вокруг оси \mathbf{Oz}' . Обозначим через R_A расстояние от центра масс Земли \mathbf{O} до точки \mathbf{A} . Это расстояние является функцией широты и параметров эллипсоида вращения — Земли:

$$R_A = R_A(\varphi_A, \mathbf{e}_{\text{terra}}, \mathbf{a}_{\text{terra}}) . \quad (3)$$

здесь $\omega_*(t)$ — угловая скорость собственного вращения Земли (Земля совершает оборот вокруг своей оси относительно звёзд за время равное $\approx 23^h 56^m 04^s$); $\omega_{\text{год}}(t)$ — дополнительная угловая скорость вращения, обеспечивающая привычную для нас череду восходов и закатов, иными словами — солнечные сутки. Так как внутрисуточные измерения широты приводятся к одному моменту времени (например: «местная полночь»), то «быструю» компоненту суточного вращения Земли ω_* , мы отбрасываем и, далее в работе, скорость вращения Земли представлена только добавочной угловой скоростью $\omega_{\text{год}}(t)$. Эта дополнительная угловая скорость есть производная по времени от долготы Солнца $\lambda_{\text{sun}}(t)$, поэтому выражение (6) примет вид:

$$\omega(t) = \cancel{\omega_*(t)} + \omega_{\text{год}}(t) = \frac{d\lambda_{\text{sun}}(t)}{dt} \approx \frac{2\pi}{T_{\text{год}}}, \quad \text{где } T_{\text{год}} = 365,25 \text{ суток.} \quad (7)$$

Это означает, что мы рассматриваем Землю в движении вокруг Солнца всегда обращённой к Солнцу одной своей стороной. Соответственно и наблюдатель, располагающийся в любой выбранной точке на поверхности Земли, всегда будет сохранять своё положение относительно направления на Солнце. Далее, мы будем считать угловую скорость вращения Земли постоянной, не зависящей от времени.

4. Особенности временного шага кратного солнечным суткам

При формировании последовательности измерений угла между отвесной линией (нормаль места) и направлением звезду (неподвижный репер) важную роль играет выбор временного шага. Если последовательность измерений формируется с шагом кратным солнечным суткам, то это означает, что собственное вращение Земли (наблюдателя **A**), вокруг оси, относительно звёзд, дополняется поворотом с угловой скоростью $\omega_{\text{год}}$ вокруг той же оси и в том же направлении. Это то дополнительное вращение наблюдателя, которое необходимо учитывать при определении, периодов внешних возмущений. Если для временного ряда в качестве шага выбрать величину кратную звёздным суткам, то наблюдатель будет оставаться относительно звёзд неподвижными. Луч, проведённый из точки **A** в направлении звезды **S**, будет совершать только плоскопараллельное перемещение, но не вращательное. Если же временной шаг измерения будет равен солнечным суткам или кратен им, то движение наблюдателя относительно звёзд будет вращательным с периодом $T_{\text{год}}$ и, как следствие, луч **AS** будет вращаться вокруг точки **A** по часовой стрелке. Это наглядно показано на рис. 4.

5. Орбита Луны

Орбита Луны — сложная незамкнутая пространственная кривая. Движение Луны рассматривается относительно неподвижной точки **O**, совпадающей с центром массы Земли (рис. 5). Положение Луны в системе координат $\mathbf{O}x^e y^e z^e$ задаётся комбинацией шести циклически непостоянных элементов орбиты [1].

$$\mathbf{r}_{\text{luna}}(t) = \mathbf{r}_{\text{luna}}(i(t), \psi(t), \varphi(t), e(t), a(t), t_*(t)), \quad (8)$$

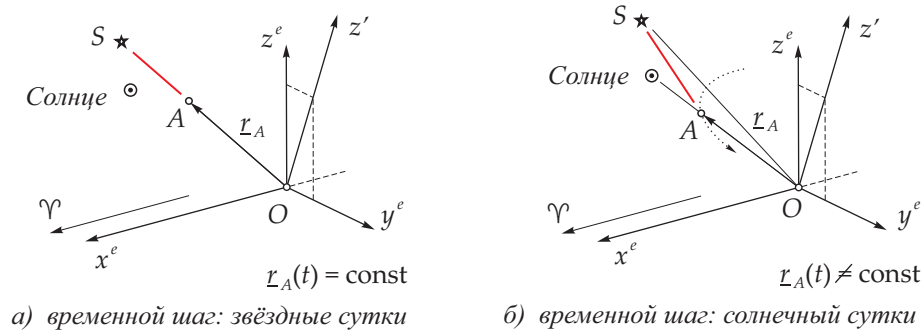


Рис. 4: Влияние выбора шага временного ряда а) или б) на характер движения точки **A**. Ось \mathbf{Oz}' — ось собственного вращения Земли. Ось \mathbf{Ox}^e , при движении Земли вокруг Солнца, всегда параллельна линии весеннего равноденствия Υ

где $i(t)$ — угол наклона орбиты, определяемый через угол пересечения плоскости эллиптики $\mathbf{Ox}^e\mathbf{y}^e$ и плоскости кеплеровой траектории Луны; $\psi(t)$ — долгота линии узлов (линия пересечения плоскостей), отсчёт угла ведётся от оси \mathbf{Ox}^e , которая параллельна линии весеннего равноденствия Υ в любой момент времени движения Земли (точка **O**) вокруг Солнца; $\varphi(t)$ — угол между линией узлов и линией апсид; эллиптичность траектории Луны определяется эксцентриситетом $e(t)$ и большой полуосью $a(t)$; $t_*(t)$ — момент времени прохождения Луной точки перигея.

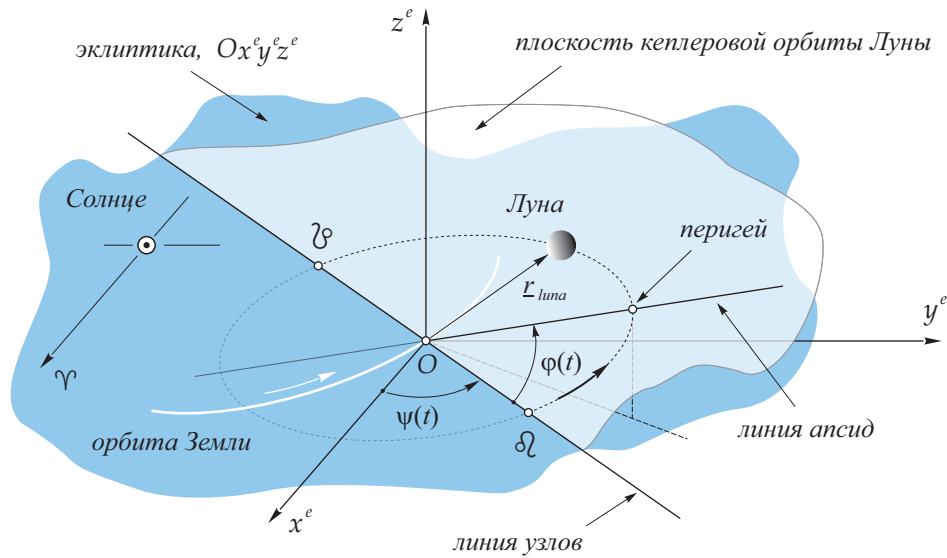


Рис. 5: Элементы орбиты Луны в системе координат $\mathbf{Ox}^e\mathbf{y}^e\mathbf{z}^e$

Например, выражения для $\psi(t)$ и $\varphi(t)$, взятые из работы [1], на эпоху 1900 года, выглядят следующим образом:

$$\begin{aligned} \psi(t) &= 259^\circ 10' 59'',77 - 1934^\circ 08' 31'',23 \cdot \tau + 07'',48 \cdot \tau^2 + 0'',0080 \cdot \tau^3, \\ \varphi(t) &= 75^\circ 8' 46'',61 + 6003^\circ 10' 33'',75 \cdot \tau - 44'',65 \cdot \tau^2 - 0'',0530 \cdot \tau^3, \\ \tau(t) &= (2415020 - t)/36525, \end{aligned} \quad (9)$$

где $\tau(t)$ — время выраженное в юлианских столетиях, как функция текущей юлианской даты t . Производные этих функций по времени дают нам значения периодов вращения линий узлов и апсид:

$$T_\psi = \frac{2\pi}{d\psi/dt} \approx -18,6 \text{ лет}, \quad T_\varphi = \frac{2\pi}{d\varphi/dt} \approx 6 \text{ лет} \quad (10)$$

о гравитационном взаимодействии двух тел мы получаем выражение для искомой массы:

$$m_{\Pi} = \frac{f_{\Pi}}{GM_{\text{terra}}^*} \Pi_{\text{luna}}^2, \quad \Pi_{\text{luna}} = \frac{p}{1+e}, \quad (15)$$

здесь Π_{luna} — расстояние между фокусом эллипса (точка \mathbf{O}) и перигеем. Подставляя (14) в (15), получаем выражение для перигейной массы:

$$m_{\Pi}(e) = M_{\text{lune}} \frac{e}{(1+e)^2}, \quad m_{\Pi}(0) = 0, \quad m_{\Pi}(e_{\text{luna}}) \approx \frac{1}{20} M_{\text{luna}}. \quad (16)$$

Таким образом, мы определили перигейную массу Луны, как функцию эксцентриситета кеплеровой орбиты Луны. Как уже отмечалось ранее, элементы орбиты Луны имеют циклический характер, поэтому, в первом приближении, будем считать, что эксцентриситет $e(t)$ является гармонической функцией с периодом равным времени обращения перигея вокруг центра Земли [1]:

$$e(t) = \bar{e} + \frac{1}{2}(e_{\text{max}} - e_{\text{min}}) \sin\left(\frac{2\pi}{T_{\text{перигей}}} t\right), \quad \bar{e} = \text{const}. \quad (17)$$

Введение фиктивной перигейной массы $m_{\Pi}(e)$ позволило исключить «быструю» компоненту движения Луны и рассматривать только движение перигея Луны Π . Положение перигейной массы в неподвижной системе координат $\mathbf{O}x^e y^e z^e$ определяется вектором:

$$\underline{r}_{\Pi}(t) = \overbrace{\Pi_{\text{luna}}(e, a)}^{a(1-e)} \cdot \mathbf{P}_z(\psi(t)) \cdot \mathbf{P}_x(i(t)) \cdot \mathbf{P}_z(\varphi(t)) \cdot \underline{e}_1 \quad (18)$$

6. Отвесная линия и перигей Луны

Определим, как зависит угол $\gamma(t)$ от взаимного расположения перигея Луны Π и наблюдателя \mathbf{A} на поверхности вращающейся Земли рис. 7.

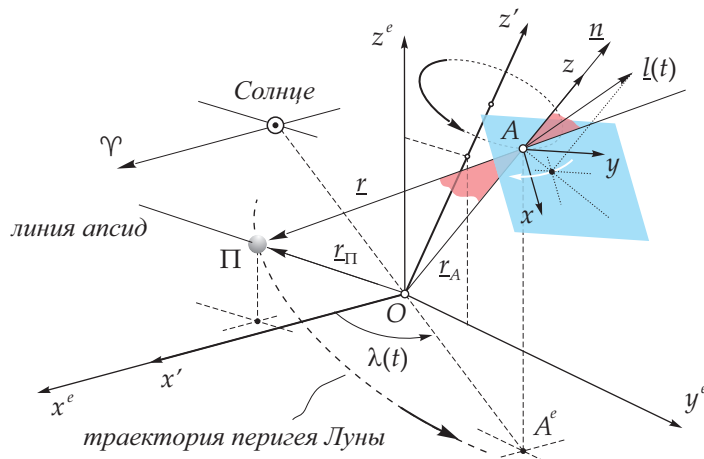


Рис. 7: Траектория перигея Луны Π и система координат $\mathbf{A}xyz$ наблюдателя \mathbf{A} на поверхности вращающейся Земли в неподвижной системе координат $\mathbf{O}x^e y^e z^e$

В системе координат $\mathbf{O}x^e y^e z^e$ точка \mathbf{A} (наблюдатель) и точка Π (перигейная масса Луны) совершают вращательное движение по своим траекториям вокруг точки \mathbf{O}

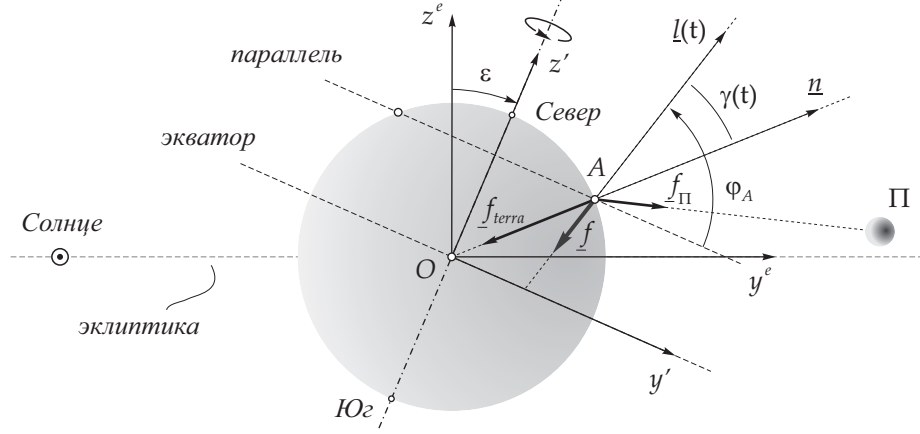


Рис. 8: Гравитационные силы, действующие на пробную массу в точке \mathbf{A} в момент времени, когда Солнце, Земля и перигейная масса Луны находятся в плоскости $\mathbf{Oy}^e z^e$

(центр массы Земли) в одну сторону, против часовой стрелки с разными угловыми скоростями. На пробную массу m_A в точке \mathbf{A} (рис. 8) действуют две гравитационные силы, со стороны Земли и перигейной массы Луны.

$$\underline{f}_{\text{terra}}(t) = \mathbf{G} m_A M_{\text{terra}} \frac{\underline{r}_A}{|\underline{r}_A|^3}, \quad \underline{f}_{\text{П}}(t) = \mathbf{G} m_A m_{\text{П}} \frac{\underline{r}_{\text{П}} - \underline{r}_A}{|\underline{r}_{\text{П}} - \underline{r}_A|^3}, \quad (19)$$

здесь $\underline{r}_{\text{П}}(t)$, $\underline{r}_A(t)$ — вектора перигея Луны (18) и наблюдателя (4) соответственно. Обозначим через $\underline{f}(t)$ сумму сил действующую в точке \mathbf{A} :

$$\underline{f}(t) = \underline{f}_{\text{terra}}(t) + \underline{f}_{\text{П}}(t), \quad (20)$$

тогда в подвижной системе координат \mathbf{Axyz} (рис. 7) сила $\underline{f}(t)$ примет вид

$$\underline{f}_A(t) = \mathbf{P}_A(t) \cdot \underline{f}(t), \quad |\underline{f}_A(t)| = |\underline{f}(t)|, \quad (21)$$

где

$$\mathbf{P}_A(t) = \mathbf{P}_x(-\varepsilon) \cdot \mathbf{P}_z(\lambda(t)) \cdot \mathbf{P}_y\left(\frac{\pi}{2} - \varphi_A\right). \quad (22)$$

Расчёт показал, что в этой системе координат вершина вектора $\underline{l}(t)$ совершает циклическое движение по часовой стрелке вокруг нормали \underline{n} с периодом $T_{\text{цикл}} \approx 411,8$ суток. Графически этот процесс отображён на рисунках 9 и 10.

Период, $T_{\text{цикл}} \approx 411,8$ суток во вращающейся системе координат \mathbf{Axyz} есть результат сложения двух вращений: вращения наблюдателя (точка \mathbf{A}) вокруг оси \mathbf{Oz}' , с периодом равным периоду обращения Земли вокруг Солнца и вращения перигея Луны вокруг центра Земли. Длиннопериодическая ($T_{\text{перигей}} \approx 8,85$ лет) составляющая, наблюдаемого процесса (рис. 9), определяется только циклическими изменениями эксцентриситета и большой полуоси эллиптической траектории Луны.

Непрерывное и не случайное изменение гравитационной обстановки в точке наблюдения на Земле, естественно, влияет на пространственное положение отвесной линии или нормали к искусственному горизонту [11, 12], то есть на результаты угловых измерений зенитных расстояний.

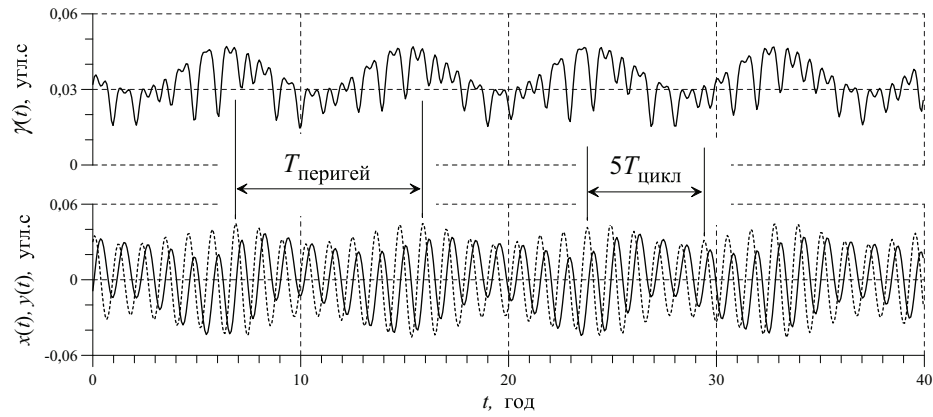


Рис. 9: Временная зависимость угла $\gamma(t)$ и его компонент $x(t)$, $y(t)$

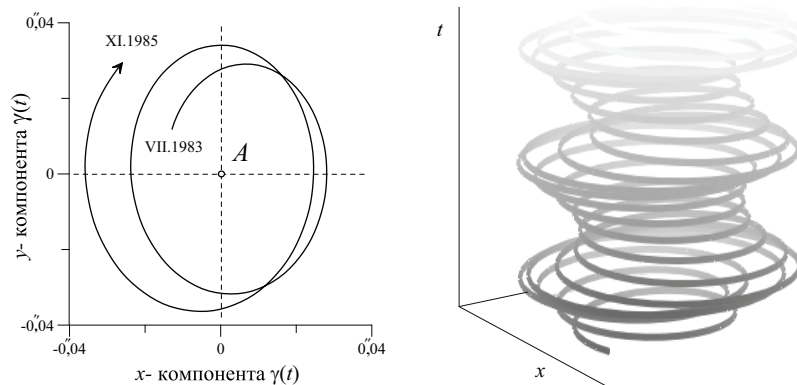


Рис. 10: Фрагмент проекции траектории вершины вектора $\underline{l}(t)$ на плоскость Axu и её временная развёртка

7. Сопоставление модели и эксперимента

Пространственное положение нуля-пункта (отвесной линии) астрометрического инструмента определяется мгновенной конфигурацией гравитационного поля и делает этот инструмент гравизависимым. Поэтому, высокая точность измерения угла придаёт астрометрическому инструменту свойства высокочувствительного гравиметра, способного через измерение угла регистрировать малые, длиннопериодические возмущения гравитационного поля в точке наблюдения.

Сравним характер поведения отвесной линии (нормали места) под действием перигейной массы Луны с результатами многолетних наблюдений за вариацией угла между нормалью места и направлением на звёзды. Из этих наблюдений исключены нутационно-прецессионных возмущения оси вращения Земли, вызванные действием известных внешних сил.

Рассмотренный выше, естественный процесс влияния перигейной массы Луны на нормаль места указывает на то, что колебание отвесной линии с амплитудой $\pm 0''{,}06$ и периодом $T_{\text{цикл}} \approx 411,8$ суток подобно колебанию Чандлера. Это даёт основание предположить, что природа колебаний Чандлера — гравитационная и определяется перигейной массой Луны.

Численное моделирование процесса хорошо согласуется с результатами долговременных наблюдений за изменением нормальной составляющей гравитационного поля Земли Δg на станциях *Bad Homburg* [13] и *Boulder* [14]. Из графиков на ри-

сунке 11 видно, что даже при разности в долготе между станциями ≈ 246 градусов, период колебания гравитационного поля один и тот же — чандлеровский ($T_{\text{цикл}} \approx 411,8$ суток).

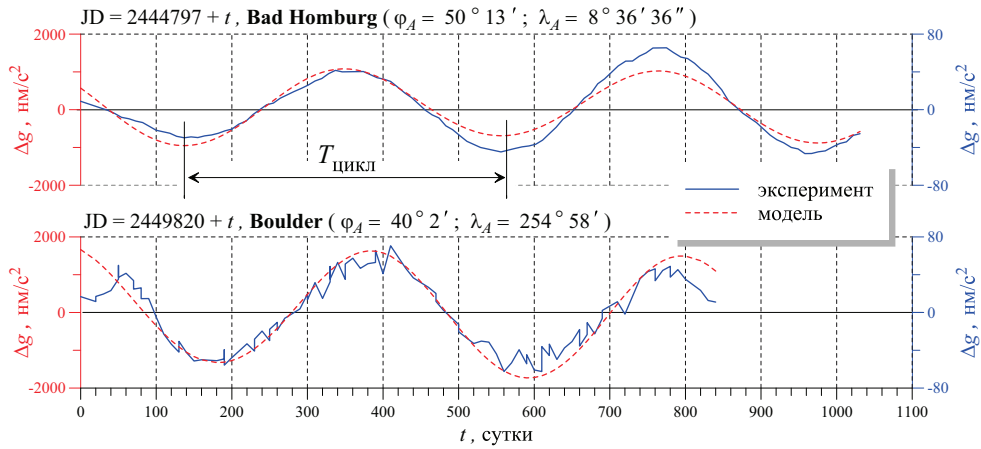


Рис. 11: Сопоставление расчётных и наблюдательных вариаций гравитационного ускорения Δg на станциях *Bad Homburg* и *Boulder*. Ряды не синхронны, начало каждого ряда задано юлианской датой JD

Далее, наблюдения за «ходом широты» $\Delta\varphi(t)$ и вариацией нормальной составляющей гравитационного поля Δg на станциях *Johannesburg* [15] и *Brussels* [2] представлены на рисунке 12). Ход кривых показывает правильность нашего утверждения, что вариация широты и колебание отвесной линии измерительного инструмента имеют одну и ту же природу — гравитационную.

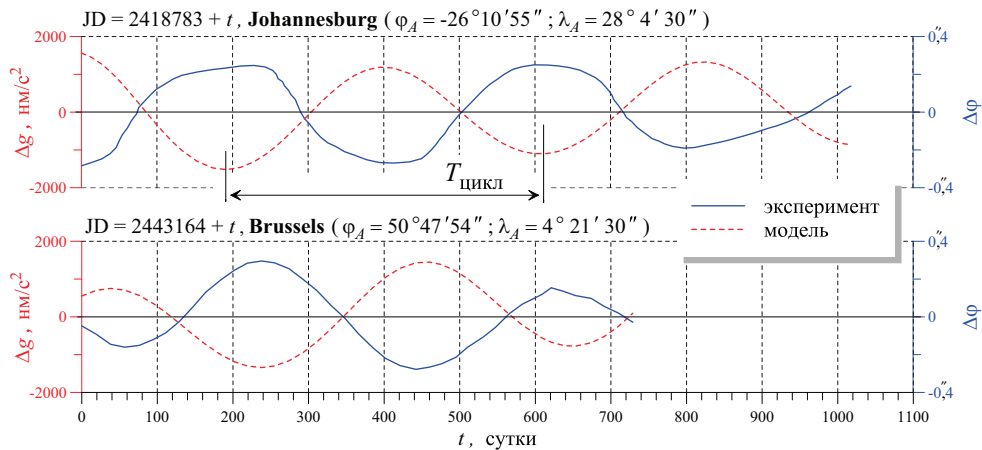


Рис. 12: Сопоставление изменения гравитационного ускорения и вариаций «широты» на станциях *Johannesburg* и *Brussels*

Важно подчеркнуть, что наблюдаемый, так называемый «ход широты» $\Delta\varphi(t)$, а правильное изменение угла отклонения силовой линии (местной нормали) от направления на звезду, и изменение нормальной составляющей гравитационного ускорения Δg имеют один и тот же период и находятся строго в противофазе, как это и должно быть при гравитационном взаимодействии Земли и Луны.

Оптическая астрометрия регистрирует *нечто*, как изменение зенитного расстояния с периодом Чандлера и амплитудой от $0,2$ до $0,3$. При этом колебание местной

нормали (отвесная линия) измерительного инструмента происходит с тем же периодом и фазой, но с амплитудой $\pm 0''{,}06$. Это позволяет уверенно предположить, что регистрируемое *нечто*, называемое чандлеровским движением, имеет гравитационную природу.

Переход в последние несколько десятилетий от наблюдений зенитных расстояний оптическими инструментами к наблюдениям методами и инструментами радиоастрономии не внёс неопределённости в результаты анализа регистрируемого процесса, не исказил их амплитудные и частотные характеристики. Результаты анализа наблюдательных данных, практически, идентичны. Это говорит о том, что в обоих случаях регистрируется одно и то же физическое явление.

Совпадение результатов наблюдений, полученных различными методами и принципиально различными инструментами, свидетельствует о том, что наблюдается и регистрируется явление одной природы — гравитационной, изменяющей пространственное положение оси вращения Земли и Земли в целом. И это происходит под действием гравитационных сил со стороны перигейной массы Луны на экваториальный избыток массы Земли. Иными словами, инструменты в обоих случаях регистрируют результат воздействия на Землю нутационного момента, вызываемого перигейной массой Луны, не учитываемого существующей теорией нутации и прецессии. Таким образом, чандлеровское колебание является движением оси вращения Земли вместе с Землёй относительно звёзд, а не движением оси вращения в теле Земли.

Факт «чандлеровских колебаний» с амплитудой $\pm 0''{,}2$ зарегистрирован и в экспериментах с лазерным гироскопом [16, 17], что подтверждает наш вывод о вынужденном характере движения оси вращения Земли вместе с Землёй под действием гравитационного момента со стороны перигейной массы Луны.

8. Временные ряды IERS

Общепринято, что при обработке данных наблюдательных экспериментов, по изучению вариаций зенитного расстояния звёзд, максимальное внимание уделяется статистическим методам и практически игнорируется физическая суть явления. Анализ наблюдательных данных статистическими методами, без чёткого представления природы регистрируемого процесса, часто уводит исследование в область метафизики. Гистограмма (рис. 13) показывает результат нашего анализа наблюдательных рядов IERS⁴. Из гистограммы видно, что период равный $\approx 411,8$ суткам имеет наибольшую частоту появления.

Теперь, если предположить, что процесс с этим периодом есть результат внешнего воздействия, то необходимо учесть дополнительное годовое вращение Земли, входящее в определение солнечных суток (6). Собственное вращение наблюдателя с периодом $T_{\text{год}}$ изменяет численное значение периодов для внешних возмущающих факторов, регистрируемых в наблюдениях. Так перигейная масса Луны, вращается с периодом $T_{\text{перигей}} = 8,85$ лет (3232,46 суток) вокруг центра массы Земли против часовой стрелки и возмущает гравитационное поле Земли. Регистрируемый наблюдателем **A** на Земле, период изменения пространственного положения отвесной линии,

⁴International Earth Rotation and Reference Systems Service, <http://www.iers.org>
Earth Orientation Center, <http://hpiers.obspm.fr/eop-pc>

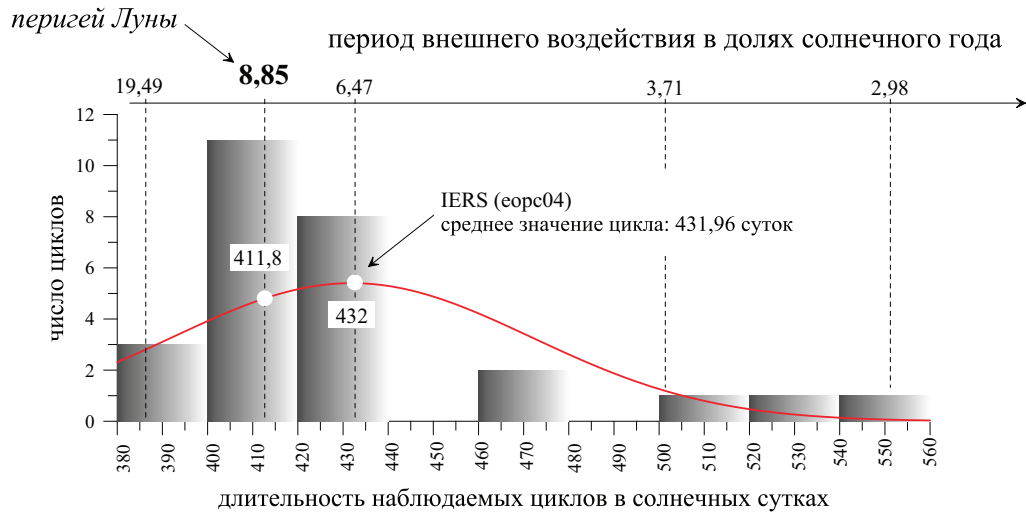


Рис. 13: Распределение циклов (2π) по длительности, в «остаточном движении» оси вращения Земли в теле Земли

вызванный этим возмущением, в рамках классической механики, определяется так

$$T_{\text{цикл}} = \frac{T_{\text{перигей}} T_{\text{год}}}{T_{\text{перигей}} - T_{\text{год}}} = \frac{8,85 \cdot 1}{8,85 - 1} \approx 1,13 \text{ года} \text{ или } \approx 411,8 \text{ суток} . \quad (23)$$

Тот же самый период гравитационного возмущения отвесной линии, при использовании временной шкалы с шагом не кратным солнечным суткам, будет иным:

$$T_{\text{цикл}} = \frac{T_{\text{перигей}} T_{\text{сутки}}}{T_{\text{перигей}} - T_{\text{сутки}}} = \frac{3232,46 \cdot 1}{3232,46 - 1} \approx 1,00031 \text{ суток} . \quad (24)$$

Похожий период можно найти в работе А.С. Васильева [18], изучавшего вариации зенитных расстояний звёзд. Особенностью его работы было то, что временные ряды для анализа он формировал с шагом не кратным суткам. Фактически он, как мы считаем, наблюдал тот же процесс, что и С. Чандлер.

Вернёмся к гистограмме на рис. 13. Нижняя, линейная шкала — это длительность циклов без учёта собственного вращения наблюдателя с периодом $T_{\text{год}}$. Верхняя, нелинейная шкала соответствует нижней шкале длительности циклов, но после коррекции за собственное вращение наблюдателя с периодом $T_{\text{год}}$. Для наблюдаемого на Земле периода $\approx 411,8$ суток (мы называем его вторичным) период внешнего возмущающего процесса (назовём его первичным) находится в интервале 8–11 лет. Источником возмущения в данном случае может быть только перигейная Луна (16), периодичность обращения которой относительно Земли равна $T_{\text{перигей}}$. Таким образом, мы можем утверждать, что период $\approx 411,8$ суток имеет естественно-природное происхождение, но сам по себе вторичен.

9. Пример гравизависимости отвесной линии

Рассмотрим роль Луны в изменении пространственного положения касательной к силовой линии гравитационного поля (отвесной линии) в точках **A**, **B**, **C**, **D** на поверхности недеформируемой Земли. Пусть расстояние от Земли до Луны фиксируется в моменты времени, когда точка **A** и Луна находятся в плоскости $Oy'z'$, при

этом точка **A** находится на стороне, обращённой к Луне (рис. 14). В эти же моменты времени фиксируем угол $\gamma(t)$ между отвесной линией $\underline{l}(t)$ и нормалью \underline{n} к касательной плоскости Axy в точке **A**.

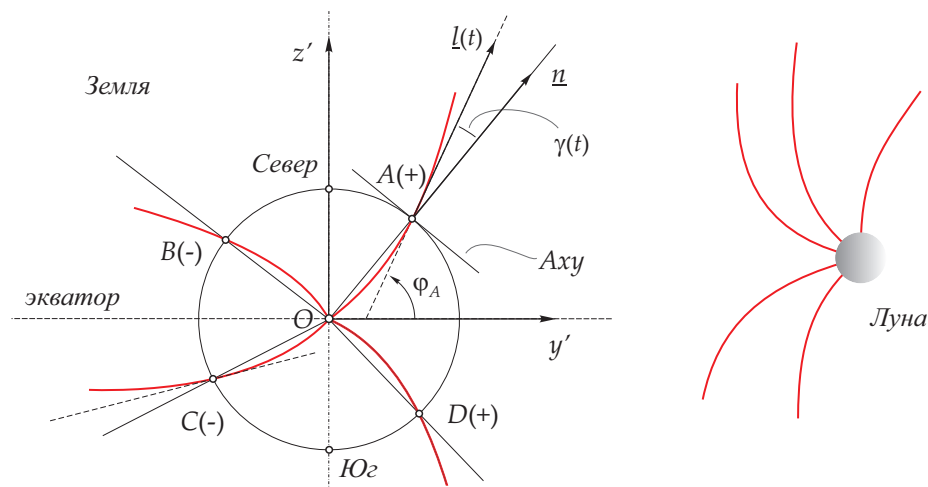


Рис. 14: Влияние Луны на отклонение отвесной линии $\underline{l}(t)$ от нормали \underline{n} к касательной плоскости Axy в точке **A** на поверхности Земли

Присутствие гравитационной массы Луны создаёт в точках **A** и **D**, эффект увеличения широты, а в точках **B** и **C** её уменьшение.

По мере приближения Луны к Земле уклонение $\frac{dy}{dt} > 0$ отвесной линии создаёт мнимый эффект увеличения географической (астрономической) широты⁵ в точках **A** и **D**, а в точках **B** и **C** её уменьшение, так как $\frac{dy}{dt} < 0$. Поэтому, при одновременных наблюдениях зенитных расстояний звёзд на одном меридиане, но по разные стороны экватора, отклонения отвесной линии $\underline{l}(t)$ будут синфазны.

10. Выводы

Так произошло, что результаты наблюдений за изменениями широты места в XIX веке, по очевидным соображениям, были восприняты, как следствие движения оси вращения Земли в теле Земли. При этом, остался без должного внимания тот факт, что так называемый, наблюдаемый «ход широты» может быть результатом малого длиннопериодического гравитационного воздействия Луны на Землю, а так же то, что интерпретация результатов анализа наблюдательных данных зависит от выбора временного шага ряда наблюдательных данных. Этот момент можно назвать точкой бифуркации формирования парадигмы, которая определила характер дальнейших поисков физической природы «чандлеровского движения». В заключение, формулируем главное:

Установлено существование, действующего на Землю, внешнего гравитационного момента, вызываемого перигейной массой Луны, который не вошёл в действующую теорию нутации и прецессии Земли.

⁵Астрономической (или географической) широтой места называется угол между плоскостью экватора и отвесной линией. В данном случае отвесная линия определяется только гравитационным полем Земли.

Учёт перигейной массы Луны в теории нутации и прецессии устранит *сущность* в виде «чандлеровского движения полюса». Это, свою очередь, приведёт к пересмотру модели Земли и теории её вращения, к изменению поправок в системе Мирового времени, в системе спутниковой навигации (GPS, ГЛОНАСС), в геодезических измерениях и физических экспериментах. Но, останется только гравитационная зависимость пространственного положения нормали места и возможные иллюзии вариаций широты места (рис. 14).

Список литературы

- [1] Куликов, К. А. Основы лунной астрометрии / К. А. Куликов, В. Б. Гуревич. — Москва: «НАУКА», 1972. — С. 392.
- [2] Подобед, В. В. Общая астрометрия / В. В. Подобед, В. В. Нестеров. — Москва: «НАУКА», 1982. — С. 576.
- [3] Chandler, S. C. New study of the polar motion for the interval, 1890–1901 / S. C. Chandler // *Astronomical Journal*. — 1902. — June. — Vol. 22. — Pp. 145–148.
- [4] Newcomb, Simon. On the dynamics of the Earth's rotation with respect to the periodic variations of latitude / Simon Newcomb // *Monthly Notices of the Royal Astronomical Society*. — 1892. — Vol. 52. — Pp. 336–341.
- [5] The excitation of the Chandler wobble / S. K. Runcorn, G. A. Wilkins, E. Groten et al. // *Surveys in Geophysics*. — 1987. — September. — Vol. 9. — Pp. 419–449.
- [6] Кирьян, Г. В. Движение центра массы Земли. Физические основы / Г. В. Кирьян, Д. Г. Кирьян. — Санкт-Петербург: СПбГПУ, 2003. — Р. 172. — Монография.
- [7] Kiryan, D. G. The Chandler wobble is a phantom / D. G. Kiryan, G. V. Kiryan // *Advanced Problems in Mechanics*. — Saint-Petersburg, Russia: 2012. — July. — Pp. 195–205.
- [8] Максимов, И. В. О «полюсном приливе» в море и атмосфере Земли / И. В. Максимов // *ДАН*. — 1952. — Т. 86, № 4. — С. 673–676.
- [9] Богданов, М. Б. Периодические изменения атмосферного давления / М. Б. Богданов, А. В. Федоренко // *Известия Саратовского университета, Сер. «Науки о Земле»*. — 2009. — Т. 9, № 1. — С. 17–20.
- [10] Астрономический ежегодник СССР на 1991 год. — Ленинград: «НАУКА», 1989. — Т. 70. — С. 693.
- [11] Кирьян, Г. В. Авторское свидетельство № 1718632 СССР, МКИ G 01 C 15/14 *Искусственный горизонт*, приоритет от 20 октября. — 1988.
- [12] Кирьян, Д. Г. Авторское свидетельство № 1832962 СССР, МКИ G 02 B 23/16 *Камера астрономического инструмента*, приоритет от 20 октября. — 1988.
- [13] Schneider, M. Earth Rotation — Research Group for Space Geodesy / M. Schneider. — 1998. — January.
- [14] van Dam, T. M. Two years of continuous measurements of tidal and nontidal variations of gravity in Boulder, Colorado / T. M. van Dam, O. Francis // *Geophysical Research Letters*. — 1998. — Vol. 25. — Pp. 393–396.

- [15] *Филиппов, А. Е.* Сравнение Пулковских и Йоханнесбургских наблюдений широты / А. Е. Филиппов. — Издательство Академии наук Украинской ССР, 1956. — Т. VI. — С. 200.
- [16] How to Detect the Chandler and the Annual Wobble of the Earth with a Large Ring Laser Gyroscope / K. U. Schreiber, T. Klügel, J.-P. R. Wells et al. // *Phys. Rev. Lett.* — 2011. — Vol. 107.
- [17] *Schreiber, K. U.* Invited Review Article: Large ring lasers for rotation sensing / K. U. Schreiber, J.-P. R. Wells // *Review of Scientific Instruments.* — 2013. — Vol. 84.
- [18] *Васильев, А. С.* Широты Пулкова в 1917–1941 гг. по наблюдениям на пассажном инструменте в первом вертикале / А. С. Васильев // *Труды Главной астрономической обсерватории в Пулкове.* — 1952. — Т. 2, № 69. — С. 15–20.